

تنوع ایزوزیمی منادیون ردوکتاز، ایزو سیترات دهیدروژناز و مالات دهیدروژناز راش شرقی *Fagus orientalis* Lipsky در ایران

پروین صالحی شانجانی

موسسه تحقیقات جنگلها و مراتع، تهران

چکیده

گونه راش یکی از فراوان ترین و از نظر اقتصادی مهمترین سرده های درختان چوبی شمال ایران است. تنوع ایزوزیمی *Fagus orientalis* Lipsky در ۱۴ جمعیت راش ایرانی در طول گستره پراکنش این گونه درختی در منطقه هیرکانی بوسیله مطالعات آنزیمی بررسی گردید. گوناگونی آنزیمی جمعیت های راش با استفاده از ۵ لوکوس آنزیمی در ۳ سیستم آنزیمی شامل منادیون ردوکتاز (MNR)، ایزو سیترات دهیدروژناز (IDH) و مالات دهیدروژناز (MDH) بوسیله الکتروفورز ژل نشاسته مطالعه گردید. از میان ۱۵ آلل مشاهده شده، ۸ آلل نادر (با فراوانی کمتر از ۵٪) در ۵ لوکوس و ۴ آلل مختص به محل (با حضور در کمتر از ۵ جمعیت) ردیابی شدند و ملاحظه گردید که کلیه آللهای مختص به محل نادر نیز هستند ولی کلیه آللهای نادر مختص به محل نمی باشند. جمعیت های نکا در ارتفاع ۹۰۰ متر از سطح دریا، خیرود در ارتفاع ۶۰۰ متر و اسالم در ارتفاع ۶۰۰ متر که هر سه در محدوده پایینی پراکنش راش قرار دارند، بیشترین تعداد آلل نادر را دارا می باشند. در این پژوهش با توجه به وجود اختلافات آب و هوایی مهم در جمعیت های انتخابی (از شرقی ترین تا غربی ترین و از بالاترین تا پایین ترین منطقه پراکنش راش در جنگلهای راش) طرح مشخصی از گوناگونی آللهای غالب MNR-A و MDH-A شیبهای جغرافیایی در میان جمعیتها یافت شد.

واژه های کلیدی: راش، *Fagus orientalis* Lipsky، ایران، ناحیه هیرکانی، تنوع ایزوزیمی، منادیون ردوکتاز، ایزو سیترات دهیدروژناز، مالات دهیدروژناز

مقدمه

از طرحهای ایزوزیمی در طول اونتوژنی پایدار می‌باشند.

علیرغم مزایای بسیار این نشانگرهای ژنی و کاربرد وسیع در مطالعات تکاملی و ژنتیک جمعیتها، استفاده از نشانگرهای ژنی ایزوآنزیمی محدودیتهایی نیز دارد (۳، ۹ و ۱۴). بطوریکه شناسایی لوکوسهای آنزیمی بوسیله روش زیموگرام فقط شامل بخش کوچک و غیرتصادفی از میان تمام ژنهای ساختمانی موجود در ژنوم می‌باشد. لوکوسهای بسیاری از پروتئینهای ساختمانی، آنزیمهای نامطول در آب یا متصل به دیواره سلولی در زمره پروتئینهای مورد مطالعه قرار نمی‌گیرند. بعلاوه فقط بخش مشخصی از جانشینیهایی نوکلئوتیدی در DNA (حدود ۳۰٪) بصورت جانشینیهایی اسید آمینه‌ای (مثل مولکولهای آنزیمی) در می‌آیند که قابل ردیابی بوسیله روش الکتروفورز است. با این وجود امروزه هنوز هم ایزوزیمها اغلب بعنوان بهترین ابزار برای پاسخ به سؤالات موجود در ژنتیک حفاظت درختان جنگلی شناخته می‌شوند (۲۹).

کاربرد ایزوزیمها برای بررسی تنوع جمعیتها در ابتدا از سوزنی برگان شروع شد. Paganelli و همکاران (۱۸) بعنوان اولین گروه، پایداری و گوناگونی بیان دهیدروژنازها را در *F. sylvatica* مطالعه نمودند. Kim (۱۱) با مطالعه

ایزوزیمها یا آلوزیمها اشکال قابل مشاهده الکتروفورزی پروتئینهای آنزیمی هستند که بوسیله رنگ آمیزی اختصاصی- گهرمایه ظاهر می‌شوند. آلوزیمها اشکال مختلف آنزیمی هستند که بوسیله آللهای مختلف یک لوکوس به رمز درآمده و بعنوان نشانگرهای ژنتیکی قابل استفاده می‌باشند. بررسی گوناگونی آلوزیمی که ناشی از تغییرات در توالیهای DNA رمزکننده پروتئین می‌باشد از روشهای متداول در زیست‌شناسی جمعیتهای گیاهی است (۲۳ و ۲۸) کاربرد الکتروفورز ژل نشاسته (۲۲) و ظاهرسازی هیستوشیمیایی آنزیمها روی ژل (۱۰) و (۲۷) تحول عظیمی در شناخت فرایندهای تکامل ایجاد نمود.

تجزیه ایزوزیمی نه تنها در مقایسه با ویژگیهای متریک (مورفولوژیکی و فیزیولوژیکی) بلکه نسبت به سایر نشانگرهای ژنتیکی دارای مزایای بسیاری است که از مهمترین آنها می‌توان به مندلی بودن توارث و بیان کودومینانت بسیاری از لوکوسهای ایزوزیمی اشاره نمود. بعلاوه ایزوآنزیمها را می‌توان برای بسیاری از گونه‌های گیاهی بدون توجه به رویشگاه، اندازه یا طول عمر استفاده نمود. این بدین معنی است که طرحهای ایزوزیمی بسیاری از سیستمهای آنزیمی مستقل از شرایط محیطی بوده و بسیاری

انتخاب توده هایی از راش که در مناطق جغرافیایی کاملاً متفاوت گسترشگاه راش واقع می باشند سعی گردید گوناگونی آنزیمهای منادیون ردوکتاز، ایزو سیترات دهیدروژناز و ملات دهیدروژناز در سه سطح توده، منطقه و ناحیه ای بررسی گردد. هدف اصلی این پژوهش جمع آوری اطلاعات مفید برای استقرار ذخیره گاههای ژنی در مناطق مورد لزوم از گستره طبیعی راش در ایران است.

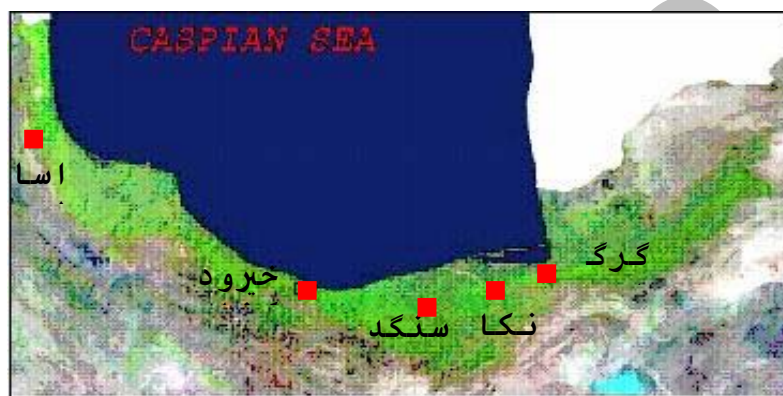
مواد و روشها

ویژگیهای مناطق مورد مطالعه: نمونه های گیاهی با نمونه برداری از ۱۴ جمعیت طبیعی راش صورت گرفت که بخش وسیعی از گستره پراکنش راش (*Fagus orientalis* Lipsky) دارای اختلافات متمایز جغرافیایی را در شمال ایران زیر پوشش قرار داد (شکل شماره ۱). بدین منظور پنج نقطه در طول گسترشگاه راش از غرب به شرق (اسالم در استان گیلان، خیرود، سنگده و نکا در استان مازندران و گرگان در استان گلستان) جنگلهای هیرکانی انتخاب شد و در هر نقطه سه پایگاه (ارتفاعهای پایین، میان و بالابند، به استثنای منطقه نکا که بعلت نامساعد بودن وضعیت آب و هوایی فقط دو قطعه نمونه در نظر گرفته شد) مستقر گردید (شکل شماره ۱). اختصارات بکار برده شده در متن و جداول

زیموگرام اسید فسفاتاز (ACP) و لوسین آمینوپپیتداز (LAP) در درختان بالغ و نتاج آنها اولین لوکوسهای ژنی آنزیمی را شناسایی نمود. Thiébaud و همکاران (۲۴) نحوه وراثت ژنتیکی سه نشانگر جدید (دو تا در پراکسیدازها (LPX) و یکی در گلوتامات اکسالوآستات ترانس آمیناز (GOT)) را در جوانه های خواب بررسی کردند. Müller-Starck (۱۶) برای تعیین اختلافات ژنتیکی بین راشهای حساس و مقاوم در یک توده جنگلی که در معرض تنش محیطی قرار گرفته بودند از چندین نشانگر استفاده کرد. Merzeau و همکاران (۱۵) کنترل ژنتیکی سیستمهای ایزوزیمی ملات دهیدروژناز (MDH)، سوپراکسید دیسموتاز (SOD)، ۶-فسفوگلوکونات دهیدروژناز (۶-PGD)، فسفوگلوکز ایزومراز (PGI) را در نتاج حاصل از مادران هتروزیگوس مطالعه نمود. Müller-Starck و Starcke (۱۷) طرحهای وراثتی لوکوسهای ژنی آنزیمی (۲۰ لوکوس) را در نتایج حاصل از تلقیح کنترل شده و درختان منفرد بررسی نمودند.

جنگلهای راش ایران روی شیب شمالی رشته کوه البرز در محدوده ارتفاع ۵۰۰-۲۱۰۰ متر از سطح دریا واقع هستند. آنها نوار جنگلی به طول ۷۰۰ کیلومتر را در سه استان گیلان، مازندران و گلستان تشکیل می دهند. در این پژوهش با

برای نام و ارتفاع جمعیت‌های مورد مطالعه عبارتند از: گ-۲۰۰۰، گ-۱۴۰۰ و گ-۶۰۰ (برای منطقه گرگان ارتفاع‌های ۲۰۰۰، ۱۴۰۰ و ۶۰۰ متر از سطح دریا)، ن-۱۴۰۰ و ن-۹۰۰ (برای منطقه نکا ارتفاع‌های ۱۴۰۰ و ۹۰۰ متر از سطح دریا)، س-۱۹۰۰، س-۱۴۰۰ و س-۹۰۰ (برای منطقه سنگه ارتفاع‌های ۱۹۰۰، ۱۴۰۰ و ۹۰۰ متر از سطح دریا)، خ-۲۰۰۰، خ-۱۲۰۰ و خ-۶۰۰ (برای منطقه خیرود ارتفاع‌های ۲۰۰۰، ۱۲۰۰ و ۶۰۰ متر از سطح دریا)، الف-۱۹۰۰، الف-۱۲۰۰ و الف-۶۰۰ (برای منطقه اسالم ارتفاع‌های ۱۹۰۰، ۱۲۰۰ و ۶۰۰ متر از سطح دریا).



شکل شماره ۱ - توزیع مناطق مورد بررسی در ایران

روشهای مطالعه آنزیمی: در هر توده مواد رویشی (شاخه‌های حامل جوانه‌های خواب) از ۵۰ درخت غیر همجوار بصورت تصادفی در یک محیط همگن نمونه‌برداری گردید. برای تجزیه آنزیمی، بافت جوانه خواب (۲-۳ جوانه از هر درخت) و بافت پوستی شاخه‌ها همگن شده و به نسبت ۲:۱ در تامپون استخراج pH= ۷ (Tris-) HCl ۰/۱ مولار با pH= ۷/۳، یک گرم PVP۴۰، یک گرم EDTA II و یک میلی لیتر ۲- مرکاپتواتانول) با استفاده از هاون دستی عصاره‌گیری شد (۱). همگناها بوسیله دستگاه الکتروفورز افقی ژل نشاسته و سیستمهای تامپونی اختصاصی آنزیمی مختلف، الکتروفورز و ژلها برای سیستمهای آنزیمی مختلف رنگ‌آمیزی شدند (جدول شماره یک). غلظت ژل ۱۲٪ و فاصله پل (ابتدا تا انتهای حرکت همگنا) ۱۲ سانتیمتر بود (۱).

تنوع ایزوزیمی جمعیت‌های راش با استفاده از ۳ سیستم آنزیمی که توسط ۵ لوکوس ژنی رمز می‌شوند مطالعه، (به جدول شماره یک توجه نمایید) وراثت ایزوآنزیمها و تفسیر زیموگرامها با روش Merzceau و همکاران (۱۵) انجام شد. لوکوسها بنام اختصاری آنزیم‌نامگذاری و براساس سرعت حرکت (کاتودی‌ترین زون

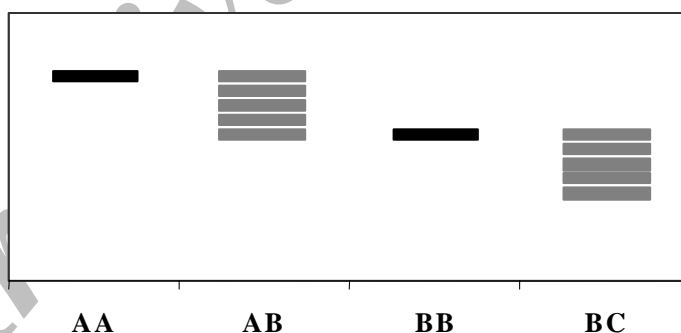
رمز می‌شود (شکل شماره ۲). ساختار آنزیمی آن تترامری است. اختلافات مهمی (در سطح ۹۵٪) در فراوانیهای آللی در مرزهای شرقی و غربی در مقایسه با نواحی مرکزی مشاهده شد. چنانچه، فراوانی فراوان ترین آلل (A) در مرزها بیش از ۲ برابر فراوانی آن در مرکز جنگلهای هیرکانی است (جدول شماره ۲). ۴ ژنوتیپ AA، AB، BB و BC در الگوی الکتروفورزی لوکوس MNR-A مشاهده گردید که AB فراوان ترین هتروزیگوت و BB فراوان ترین هموزیگوت می باشد (جدول شماره ۳).

بعنوان لوکوس A و دومین لوکوس قبل آن B و غیره) حرفگذاری شدند. برای هر فرد، ژنوتیپهای دیپلوئید شمارهگذاری گردید. فراوانیهای ژنوتیپی و آللی بطور وسیعی مطالعه (توسط نرم افزار GENEPOP، ۲۰) و ناهمگونی فراوانیهای آللی در میان جمعیتها با استفاده از آزمون فیشر بررسی گردید (۲۰).

نتایج

پلی مورفیسم سیستمهای آنزیمی مورد استفاده: منادیون ردوکتاز بوسیله یک لوکوس MNR-A با ۳ آلل دارای Rm ۱۲۶، ۱۰۰، ۷۴

ژنوتیپهای مشاهده شده منادیون ردوکتاز



شکل شماره ۲- زیموگرام ژنوتیپهای مشاهده شده منادیون ردوکتاز در درختان راش مناطق مورد

مطالعه.

جدول شماره ۱ - شرایط الکتروفورز با ژل نشاسته و رنگامیزی آنزیمهای مورد مطالعه.

ترکیب محلول رنگامیزی	قدرت برق		ترکیب ژل					تامپون الکتروود برای حجم ml ۱۰۰۰	تامپون ژل برای حجم ml ۱۰۰۰	آنزیم	
	ولتاژ (V)	جریان میدان (mA)	نشاسته (gr)	ساکارز (gr)	اوره (gr)	تامپون الکتروود (ml)	تامپون ژل (ml)	آب (ml)			
تامپون Tris-HCl ۰/۸ مولار pH=۷:۲۵ میلی لیتر Menadione: ۰/۰۵ میلی گرم NADP ۱٪: ۱ میلی لیتر MTT ۱٪: ۱ میلی لیتر PMS ۱٪: ۱ میلی لیتر	۳۰۰-۲۸۰	۷۵-۶۰	۲۴	۱۲	-	۲۳	۱۷۷	-	Tris: ۱۶/۳۴ گرم اسید سیتریک: ۹/۰۴ گرم Ph: ۸/۱	Tris: ۱۶/۳۴ گرم اسید سیتریک: ۹/۰۴ گرم Ph: ۷	منادیون ردوکتاز
تامپون Tris-HCl ۰/۲ مولار pH=۸:۲۵ میلی لیتر MgCl ₂ ۱٪: ۱ میلی لیتر D,L-Isocitric acid: ۸۰ میلی گرم NADP ۱٪: ۱ میلی لیتر MTT ۱٪: ۱ میلی لیتر PMS ۱٪: ۱ میلی لیتر	۱۷۰	۱۰۰-۹۰	۲۴	-	۳	-	۴۵	۱۵۵	اسید بوریک: ۱۲/۸۱ گرم هیدروکسید لیتیم: ۱/۱۹ گرم Ph: ۸/۱	Tris: ۶/۸۷ گرم اسید سیتریک: ۹/۰۴ گرم Ph: ۸/۱	ایزوسیترات دهیدروژناز
تامپون Tris-HCl ۰/۲ مولار pH=۸:۲۵ میلی لیتر D,L-Malic acid ۰/۲ مولار pH=۸:۶ میلی لیتر NAD ۱٪: ۱ میلی لیتر MTT ۱٪: ۱ میلی لیتر PMS ۱٪: ۱ میلی لیتر NBT: ۱ میلی لیتر	۱۷۰	۱۰۰-۹۰	۲۴	-	۳	-	۴۵	۱۵۵	اسید بوریک: ۱۲/۸۱ گرم هیدروکسید لیتیم: ۱/۱۹ گرم Ph: ۸/۱	Tris: ۶/۸۷ گرم اسید سیتریک: ۹/۰۴ گرم Ph: ۸/۱	مالات دهیدروژناز

جدول شماره ۲- بازنگری سیستمهای آنزیمی، شماره کمیسیون آنزیمی (EC) و آلهای مشاهده

شده

گروه بندی آنزیم	ساختمان چهارم	آلهای مشاهده شده در هر لوکوس	تعداد آله مشاهده شده در لوکوس (در ایران)	لوکوسهای پلی مورفیک رمز کننده آنزیم	شماره EC	طبقه آنزیمی	سیستم آنزیمی
متابولیسیم ثانوی	تترامر	A [*] : ۱۳۷, A: ۱۳۶, B [*] : ۱۱۳ B: ۱۰۰, C: ۷۴, D [*] : ۶۳	۳	MNR-A	۱.۶.۹۹.۲	اکسیدوردوکتازها	من—ادیون ردوکتاز
متابولیسیم اولیه	دیمر	A [*] : ۱۳۲, A: ۱۱۶, B: ۱۰۰, C: ۸۴	۳	IDH-A	۱.۱.۱.۴۲	اکسیدوردوکتازها	ایزوسیترات دهیدروژناز
متابولیسیم اولیه	دیمر دیمر منومر	B: ۱۳۰, C: ۱۳۵, D [*] : ۱۳۱, E: ۱۰۱, F: ۸۸ A: ۱۱۸, B [*] : ۱۰۹, C: ۱۰۰, D: ۷۸, E [*] : ۶۶ A: ۲۲, B: ۱۸	۴ ۳ ۲	MDH-A MDH-B MDH-C	۱.۱.۱.۳۷	اکسیدوردوکتازها	م—الات دهیدروژناز

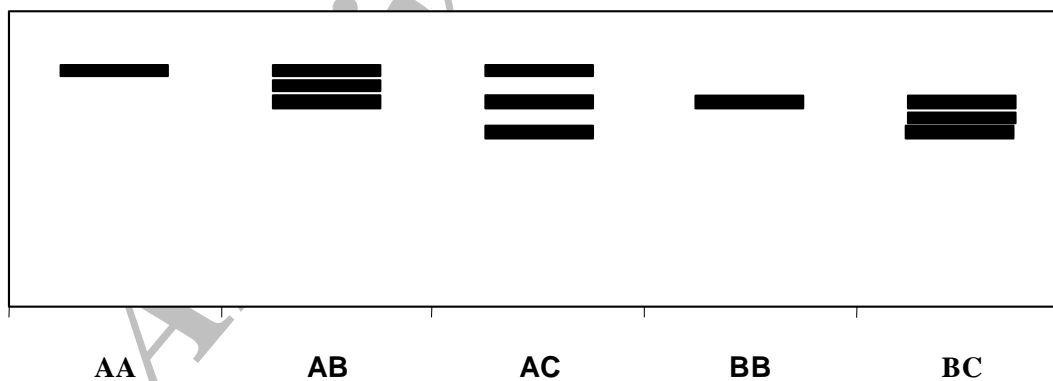
* آلی که در ایران مشاهده نشد.

جمعیت‌های نکا-۹۰۰ و سنگده-۱۹۰۰ که در هر یک ۳ ژنوتیپ مشاهده گردید باقی جمعیتها دو ژنوتیپ نشان دادند (جدول شماره ۳). مالات دهیدروژناز بوسیله ۳ لوکوس آنزیمی (MDH-) در MDH-B و MDH-C) رمز می‌شود. در لوکوسهای MDH-A، MDH-B و MDH-C بترتیب ۴، ۳ و ۲ شکل آلی مشاهده گردید (شکل شماره ۴). بیان فنوتیپی لوکوس MDH-A بسیار مشابه به MDH-B است و هر دو آنزیم تولید شده بوسیله این لوکوسها دیمری می‌باشند. در حالیکه آنزیم حاصل از لوکوس MDH-C منومری است. در لوکوس MDH-A، کمترین فراوانی آلل E و بیشترین فراوانی آلل C در جمعیت‌های مرزی مشاهده می‌شود. در حالیکه در لوکوس MDH-B یک تمایل جغرافیایی از

ایزوزیمهای ایزوسیترات دهیدروژناز بوسیله ۲ لوکوس ژنی رمز می‌شود ولی از آنجایی که منطقه دوم فعالیت روی ژل (IDH-B) رنگ‌پذیری کمی داشت و قابل بررسی نبود فقط لوکوس IDH-A با ۳ آلل مطالعه گردید (شکل شماره ۳). تحرک نسبی ۳ آلل ۱۱۶، ۱۰۰، ۸۴ بود. ساختار آنزیم دیمری می‌باشد. اختلاف مهمی بین فراوانی آلل فراوان (B) در جمعیتها مشاهده نشد (جدول شماره ۲). ۵ ژنوتیپ AA، AB، AC، BB و BC در الگوی الکتروفورزی لوکوس IDH-B مشاهده گردید که BB ژنوتیپ غالب در تمام جمعیتها بود. از میان ۱۴ جمعیت مطالعه شده جمعیت‌های گرگان-۲۰۰۰، خیرود-۱۲۰۰ و اسالم-۱۹۰۰ حالت منومورفیک از ژنوتیپ BB را نشان دادند و به استثناء

شرق به غرب و غرب به شرق بترتیب در آللهای C و A ملاحظه گردید. در لوکوس MDH-C در حقیقت ۴ شکل آللی وجود دارد. ولی از آنجایی که سرعت مهاجرت آلل اول و دوم و نیز آلل سوم و چهارم بسیار شبیه هم است فقط دو آلل تفسیر گردید. در لوکوس MDH-C، بیشترین فراوانی آللی متعلق به آلل B می باشد (جدول شماره ۲). در الگوی الکتروفورزی در لوکوسهای MDH-A، MDH-B و MDH-C بترتیب ۵، ۶ و ۲ ژنوتیپ مشاهده گردید. فراوانی ۳ ژنوتیپ CC، CE و EE در لوکوس MDH-A بطور قابل ملاحظه ای بیش از دو ژنوتیپ BC و CF است. فراوانی ژنوتیپی CC در MDH-B بطور محسوسی بیش از سایر ژنوتیپها می باشد. خیرود-۱۲۰۰ و خیرود-۲۰۰۰ با نمایش دو ژنوتیپ کمترین پلی مورفیسم ژنوتیپی را نشان دادند. همانطوریکه در الگو الکتروفورزی MDH-C مشاهده می شود فقط دو ژنوتیپ AB و BB وجود دارد که ژنوتیپ BB فراوانی غالبی را در جمعیتهای مورد مطالعه نشان می دهد (جدول شماره ۳):

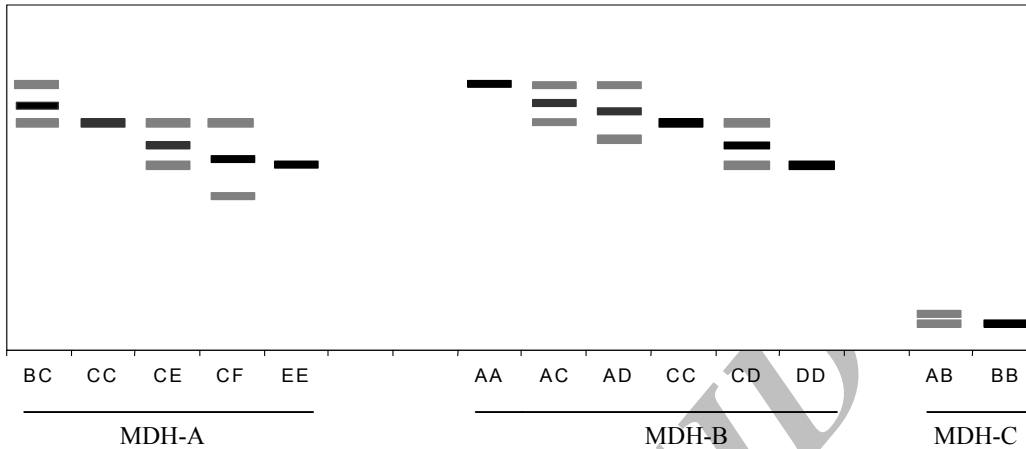
ژنوتیپهای مشاهده شده ایزوسیترات دهیدروژناز



شکل شماره ۳- زیموگرام ژنوتیپهای مشاهده شده ایزوسیترات دهیدروژناز در درختان

راش مناطق مورد مطالعه.

ژنوتیپهای مشاهده شده مالات دهیدروژناز



شکل شماره ۴- ژیموگرام ژنوتیپهای مشاهده شده مالات دهیدروژناز در درختان راش
مناطق مورد مطالعه.

MDH-C پلی مورفیسم کمی را نشان دادند و حتی اگر تعداد آلل در لوکوس آنها ۳ عدد بود فراوانی یک آلل معمولاً بسیار بالا و سایر آللهای نادر و یا کاملاً غایب از برخی جمعیتها بودند. از سوی دیگر، لوکوسهای MDH-A و MDH-B تقریباً در تمام جمعیتها پلی مورفیسم بسیار بالایی نشان دادند. تعداد آللهای مشاهده شده در ۵ لوکوس از ۲ آلل (در لوکوس MDH-C) تا ۳ آلل (در لوکوسهای MNR-A و IDH-A) و ۴ آلل (در لوکوسهای MDH-A و MDH-B) متغیر است (جدول شماره ۲). در برخی لوکوسها، "تعداد آلل در لوکوس" در میان جمعیتها متفاوت بود در حالیکه در سایر موارد ثابت می‌باشد. برای مثال "تعداد آلل در لوکوس" IDH-A از یک (در جمعیتهای گرگان-۲۰۰۰،

فراوانی و توزیع آللی: جدول شماره ۲ فراوانی آللی را در تک تک جمعیتها، مناطق و کل ناحیه هیرکانی نشان می‌دهد. در ۴ لوکوس ناهمگونی فراوانی آللی در میان جمعیتها کاملاً معنی‌دار است. بعبارت دیگر فراوانی آللی بسیاری از لوکوسها بطور قابل ملاحظه‌ای در بین گروههای درختان نمونه برداری شده از جمعیتهای مختلف متفاوت است. بعلت تمایز نسبتاً کم و پلی مورفیسم نادر، تعداد نمونه برداری برای نتیجه‌گیری روی ناهمگونی فراوانی آللی در لوکوس MDH-A کافی نبود. از میان ۵ لوکوس MDH-C در ۷ جمعیت منومورفیک بود. در هر لوکوس عمدتاً یک آلل فراوان‌تر از بقیه است. در حالی که لوکوس MDH-A با دو آلل فراوان در برخی جمعیتها متمایز بود. ۲ لوکوس IDH-A و

اندازه‌گیری، همواره احتمال از دست رفتن یک آلل در طی نمونه‌برداری وجود دارد. با این وجود، بعلت اهمیت خاص آنها در بررسی روابط فیلوژنی، ارزیابی شدند.

در این پژوهش، به آللهایی آلل نادر اطلاق می‌شود که دارای فراوانی کمتر از ۵٪ باشند. در کل، ۸ آلل نادر در ۵ لوکوس شناسایی شد که حضورشان از یک جمعیت (MNR-A/C)، MDH-B/D و MDH-A/F) تا ۹ جمعیت (IDH-A/A) متغیر بود (جدول شماره ۵). تعداد آللهای نادر در جمعیتها از ۱ آلل در جمعیتهای گرگان-۲۰۰۰، سنگده-۹۰۰ و خیرود-۲۰۰۰ تا ۴ آلل در جمعیتهای نکا-۹۰۰، خیرود-۶۰۰ و اسالم-۶۰۰ که هر سه در محدوده پایینی پراکنش راش قرار دارند متفاوت بود. توزیع این ۸ آلل مختص به محل از شرق به غرب جنگلهای راش در ایران متفاوت است که می‌توان آنها را در گروههای زیر قرار داد: ۱) حضور در غرب به طرف مرکز (مثل MDH-A/B) ۲) حضور در مناطق مرزی (مثل MDH-C/A) ۳) حضور در نواحی دور از دریا: نکا و سنگده (مثل IDH-A/C) ۴) حضور فقط در یک منطقه (نکا).

توزیع موزائیکی برخی آللهای (مثل IDH-A/A) امکان نتیجه‌گیری در مورد اختصاصی بودن آنها را به محل خاصی فراهم نمی‌کند.

خیرود-۱۲۰۰ و اسالم ۱۹۰۰)، ۲ (در بسیاری از جمعیتها) و ۳ آلل (در جمعیتهای نکا-۹۰۰ و سنگده-۱۹۰۰) متغیر بود در حالیکه در لوکوس MDH-B در تمام جمعیتها ۳ آلل مشاهده گردید.

اگرچه درون هر منطقه، اشکال آلی بین ارتفاعات مختلف متفاوت بود ولی هیچ تمایل خاص جغرافیایی یافت نشد. در آلل فراوان لوکوسهای MNR-A و MDH-A تمایل و شیب جغرافیایی محسوسی مشاهده گردید. بطوریکه فراوانی آلی MNR-A/A در مناطق مرکزی افزایش و فراوانی آلل MDH-A کاهش می‌یابد (شکل شماره ۴). ۸ آلل از ۱۵ آلل در تمام جمعیتها وجود داشت ولی چندین آلل نیز شناسایی شدند که فقط در برخی بخشهای گسترش راش مشاهده شدند. تعداد کمی از این آللهای منحصراً در یک جمعیت مشاهده شد (MNR-A/C) در نکا-۹۰۰؛ MDH-A/F) در خیرود-۶۰۰. در این پژوهش آللهای مختص به محل به آللهایی اختصاص داده شد که در کمتر از ۵۰٪ جمعیتها حضور داشتند. که با این معیار ۴ آلل از ۳ لوکوس، آلل مختص به محل بودند (جدول شماره ۴). با توجه به اینکه آللهای مختص به محل عموماً نادر نیز هستند (فراوانی آنها معمولاً کمتر از ۵٪ است)، بنابراین اختصاصی بودن آنها را به یک منطقه یا محل می‌بایست همراه با احتیاط در نظر گرفت زیرا با توجه به محدودیت

جدول شماره ۲- فراوانی آلی در سطح جمعیتها، مناطق و کل ناحیه مطالعه شده (ارزش p برگرفته از آزمون فیشر (۲۰) است).

لوکوس و آلل	جمعیت															منطقه					کل ناحیه
	گ	گ	گ	ن	ن	س	س	س	خ	خ	خ	الف	الف	الف	ارزش p	گرگان	نکا	سنگد	خیرود	اسالم	
	۲۰۰۰	۱۴۰۰	۶۰۰	۱۴۰۰	۹۰۰	۱۹۰۰	۱۴۰۰	۹۰۰	۲۰۰۰	۱۲۰۰	۶۰۰	۱۹۰۰	۱۲۰۰	۶۰۰							
MNR-A																					
A	۰/۳۴۴	۰/۱۶۷	۰/۱۷۴	۰/۱۷۰	۰/۲۰۸	۰/۱۹۸	۰/۱۲۵	۰/۲۰۸	۰/۱۹۸	۰/۱۷۷	۰/۲۲۹	۰/۲۵۰	۰/۲۳۳	۰/۲۹۳	۰/۲۲۹	۰/۱۹۰	۰/۱۷۷	۰/۲۰۱	۰/۲۹۲	۰/۲۱۹۶	
B	۰/۷۵۶	۰/۸۳۳	۰/۸۲۶	۰/۸۳۰	۰/۷۸۱	۰/۸۰۲	۰/۸۷۵	۰/۷۹۲	۰/۸۰۲	۰/۸۲۳	۰/۷۷۱	۰/۷۵۰	۰/۶۶۷	۰/۷۰۷	۰/۷۷۱	۰/۸۰۵	۰/۸۲۳	۰/۷۹۹	۰/۷۰۸	۰/۷۷۹۶	
C	۰/۰۰۰	۰/۰۰۰	۰/۰۰۰	۰/۰۰۰	۰/۰۱۰	۰/۰۰۰	۰/۰۰۰	۰/۰۰۰	۰/۰۰۰	۰/۰۰۰	۰/۰۰۰	۰/۰۰۰	۰/۰۰۰	۰/۰۰۰	۰/۰۰۰	۰/۰۰۵	۰/۰۰۰	۰/۰۰۰	۰/۰۰۰	۰/۰۰۰۷	
IDH-A																					
A	۰/۰۰۰	۰/۰۱۰	۰/۰۱۰	۰/۰۲۱	۰/۰۴۲	۰/۰۵۲	۰/۰۱۰	۰/۰۴۲	۰/۰۱۰	۰/۰۰۰	۰/۰۳۱	۰/۰۰۰	۰/۰۵۲	۰/۰۱۰	۰/۰۰۷	۰/۰۳۱	۰/۰۳۵	۰/۰۱۴	۰/۰۲۱	۰/۰۰۲۲	
B	۱/۰۰۰	۰/۹۹۰	۰/۹۹۰	۰/۹۷۹	۰/۹۴۸	۰/۹۳۸	۰/۹۹۰	۰/۹۵۸	۰/۹۹۰	۱/۰۰۰	۰/۹۶۹	۱/۰۰۰	۰/۹۴۸	۰/۹۹۰	۰/۹۹۳	۰/۹۶۴	۰/۹۶۲	۰/۹۸۶	۰/۹۷۹	۰/۹۷۷	
C	۰/۰۰۰	۰/۰۰۰	۰/۰۰۰	۰/۰۰۰	۰/۰۱۰	۰/۰۱۰	۰/۰۰۰	۰/۰۰۰	۰/۰۰۰	۰/۰۰۰	۰/۰۰۰	۰/۰۰۰	۰/۰۰۰	۰/۰۰۰	۰/۰۰۰	۰/۰۰۵	۰/۰۰۴	۰/۰۰۰	۰/۰۰۰	۰/۰۰۵۰	
MDH-A																					
B	۰/۰۰۰	۰/۰۰۰	۰/۰۰۰	۰/۰۰۰	۰/۰۰۰	۰/۰۱۰	۰/۰۰۰	۰/۰۰۰	۰/۰۰۰	۰/۰۰۰	۰/۰۰۰	۰/۰۰۰	۰/۰۰۰	۰/۰۱۰	۰/۰۰۰	۰/۰۰۰	۰/۰۰۴	۰/۰۰۰	۰/۰۰۴	۰/۰۰۱۵	
C	۰/۵۷۳	۰/۷۰۸	۰/۵۹۶	۰/۴۹۰	۰/۵۷۳	۰/۵۲۱	۰/۵۱۰	۰/۴۹۰	۰/۴۲۴	۰/۵۹۴	۰/۶۷۷	۰/۵۹۴	۰/۶۰۴	۰/۵۹۴	۰/۶۲۶	۰/۵۳۱	۰/۵۰۶	۰/۵۴۶	۰/۵۹۷	۰/۵۶۳۵	
E	۰/۴۲۷	۰/۲۹۲	۰/۴۰۴	۰/۵۱۰	۰/۴۲۷	۰/۴۶۹	۰/۴۹۰	۰/۵۱۰	۰/۵۷۶	۰/۴۰۶	۰/۳۱۳	۰/۴۰۶	۰/۳۹۶	۰/۳۹۶	۰/۳۷۴	۰/۴۶۹	۰/۴۹۰	۰/۴۵۱	۰/۳۴۰	۰/۴۳۴۲	
F	۰/۰۰۰	۰/۰۰۰	۰/۰۰۰	۰/۰۰۰	۰/۰۰۰	۰/۰۰۰	۰/۰۰۰	۰/۰۰۰	۰/۰۰۰	۰/۰۰۰	۰/۰۰۰	۰/۰۰۰	۰/۰۰۰	۰/۰۰۰	۰/۰۰۰	۰/۰۰۰	۰/۰۰۰	۰/۰۰۴	۰/۰۰۰	۰/۰۰۰۷	
MDH-B																					
A	۰/۰۵۲	۰/۱۱۵	۰/۰۵۲	۰/۱۰۴	۰/۰۴۲	۰/۰۷۴	۰/۰۴۲	۰/۰۷۳	۰/۰۰۰	۰/۰۲۱	۰/۰۲۱	۰/۰۲۱	۰/۰۱۰	۰/۰۱۰	۰/۰۷۳	۰/۰۷۳	۰/۰۶۳	۰/۰۱۸	۰/۰۱۱	۰/۰۴۵۶	
C	۰/۸۴۴	۰/۸۳۳	۰/۸۹۶	۰/۸۱۳	۰/۸۹۶	۰/۸۶۲	۰/۸۶۵	۰/۸۶۵	۰/۹۴۶	۰/۹۲۷	۰/۹۱۷	۰/۹۲۷	۰/۹۳۸	۰/۹۴۸	۰/۸۵۸	۰/۸۵۴	۰/۸۶۴	۰/۹۳۴	۰/۹۳۸	۰/۸۹۳۹	
D	۰/۱۰۴	۰/۰۵۲	۰/۰۵۲	۰/۰۸۳	۰/۰۶۳	۰/۰۶۴	۰/۰۹۴	۰/۰۶۳	۰/۰۵۴	۰/۰۵۲	۰/۰۶۳	۰/۰۵۲	۰/۰۶۲	۰/۰۴۲	۰/۰۳۱	۰/۰۶۹	۰/۰۷۳	۰/۰۷۳	۰/۰۲۹	۰/۰۶۰۵	
MDH-C																					
A	۰/۰۱۰	۰/۰۱۰	۰/۰۱۰	۰/۰۰۰	۰/۰۰۰	۰/۰۰۰	۰/۰۰۰	۰/۰۰۰	۰/۰۰۰	۰/۰۱۰	۰/۰۲۱	۰/۰۱۰	۰/۰۱۰	۰/۰۰۰	۰/۰۱۰	۰/۰۰۰	۰/۰۰۰	۰/۰۱۰	۰/۰۰۷	۰/۰۰۶۰	
B	۰/۹۹۰	۰/۹۹۰	۰/۹۹۰	۱/۰۰۰	۱/۰۰۰	۱/۰۰۰	۱/۰۰۰	۱/۰۰۰	۱/۰۰۰	۰/۹۹۰	۰/۹۷۹	۰/۹۹۰	۰/۹۹۰	۱/۰۰۰	۰/۹۹۰	۱/۰۰۰	۱/۰۰۰	۰/۹۹۰	۰/۹۹۳	۰/۹۹۴۰	

جدول شماره ۳- فراوانیهای ژنوتیپی در سطح جمعیتها

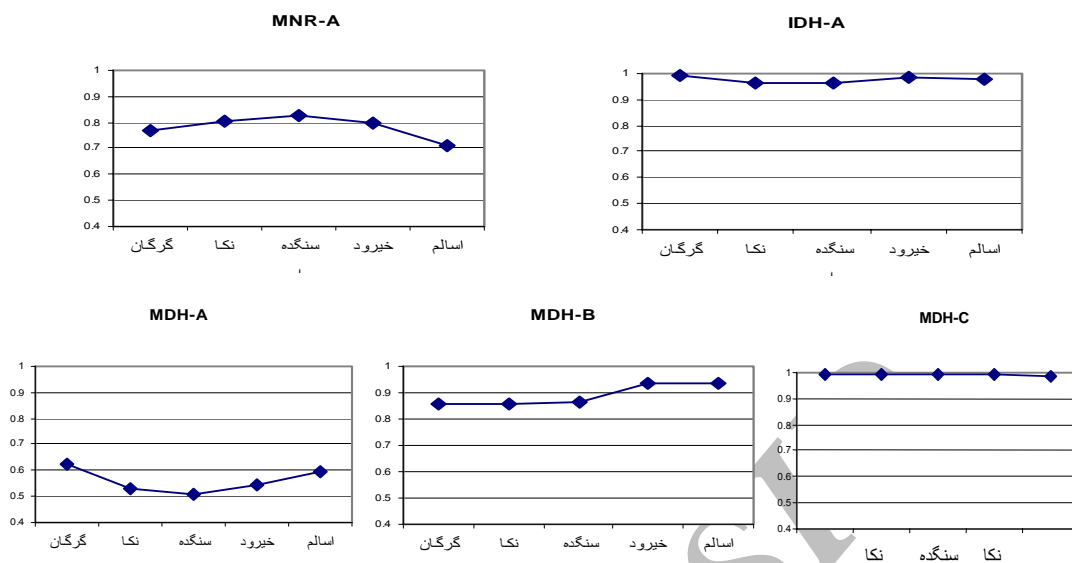
	گرگان			نکا		سنگده			خیرود			اسالم		
	۲۰۰۰	۱۴۰۰	۶۰۰	۱۴۰۰	۹۰۰	۱۹۰۰	۱۴۰۰	۹۰۰	۲۰۰۰	۱۲۰۰	۶۰۰	۱۹۰۰	۱۲۰۰	۶۰۰
MNR-A														
AA	۵	۱	۲	۲	۲	۱	۱	۱	۲	۳	۳	۳	۴	۳
AB	۱۳	۱۴	۱۲	۱۲	۱۶	۱۷	۱۰	۱۸	۱۵	۱۱	۱۶	۱۸	۲۴	۲۱
BB	۲۰	۳۳	۳۲	۳۳	۲۹	۳۰	۳۷	۲۹	۳۱	۳۴	۲۹	۲۷	۲۰	۲۲
BC	-	-	-	-	۱	-	-	-	-	-	-	-	-	-
N	۴۸	۴۸	۴۶	۴۷	۴۸	۴۸	۴۸	۴۸	۴۸	۴۸	۴۸	۴۸	۴۸	۴۶
IDH-A														
AA	-	-	-	۱	-	-	-	-	-	-	-	-	-	-
AB	-	۱	۱	-	۳	۵	۱	۴	۱	-	۳	-	۵	۱
AC	-	-	-	-	۱	-	-	-	-	-	-	-	-	-
BB	۴۸	۴۷	۴۷	۴۷	۴۴	۴۲	۴۷	۴۴	۴۷	۴۸	۴۵	۴۸	۴۳	۴۷
BC	-	-	-	-	-	۱	-	-	-	-	-	-	-	-
N	۴۸	۴۸	۴۸	۴۸	۴۸	۴۸	۴۸	۴۸	۴۸	۴۸	۴۸	۴۸	۴۸	۴۸
MDH-A														
BC	-	-	-	-	-	۱	-	-	-	-	-	-	-	۱
CC	۱۵	۲۴	۱۷	۱۲	۱۷	۱۳	۱۱	۱۱	۵	۱۱	۲۱	۱۹	۱۸	۱۴
CE	۲۵	۲۰	۲۲	۲۳	۲۱	۲۳	۲۷	۲۵	۲۷	۲۹	۲۲	۱۹	۲۲	۲۸
CF	-	-	-	-	-	-	-	-	-	-	۱	-	-	-
EE	۸	۴	۸	۱۳	۱۰	۱۱	۱۰	۱۲	۱۳	۸	۴	۱۰	۸	۵
N	۴۸	۴۸	۴۷	۴۸	۴۸	۴۷	۴۸	۴۸	۴۶	۴۸	۴۸	۴۸	۴۸	۴۸
MDH-B														
AA	-	-	-	-	-	۱	-	-	-	-	-	-	-	-
AC	۵	۱۱	۵	۹	۴	۵	۴	۷	-	۳	۲	۲	-	۱
AD	-	-	-	۱	-	-	-	-	-	-	-	-	-	-
CC	۳۴	۲۳	۳۸	۳۲	۳۸	۳۵	۳۷	۳۶	۴۱	۴۵	۴۱	۴۱	۴۴	۴۳
CD	۸	۳	۵	۵	۶	۶	۵	۴	۵	-	۴	۵	۲	۴
DD	۱	۱	-	۱	-	-	۲	۱	-	-	۱	-	۲	-
N	۴۸	۴۸	۴۸	۴۸	۴۸	۴۷	۴۸	۴۸	۴۶	۴۸	۴۸	۴۸	۴۸	۴۸
MDH-C														
AB	۱	۱	۱	-	-	-	-	-	-	۱	۲	۱	۱	-
BB	۴۷	۴۷	۴۷	۴۸	۴۸	۴۸	۴۸	۴۸	۴۸	۴۷	۴۶	۴۷	۴۷	۴۸
N	۴۸	۴۸	۴۸	۴۸	۴۸	۴۸	۴۸	۴۸	۴۸	۴۸	۴۸	۴۸	۴۸	۴۸

جدول شماره ۴- فراوانی و توزیع آلهای مختص به محل در کلیه جمعیت‌های مورد مطالعه

	گ-۲۰۰۰	گ-۱۴۰۰	گ-۶۰۰	ن-۱۴۰۰	ن-۹۰۰	س-۱۹۰۰	س-۱۴۰۰	س-۹۰۰	خ-۲۰۰۰	خ-۱۲۰۰	خ-۶۰۰	الف-۱۹۰۰	الف-۱۲۰۰	الف-۶۰۰	کل
MNR-A															
C	-	-	-	-	۰/۰۱۰	-	-	-	-	-	-	-	-	-	۱
IDH-A															
C	-	-	-	-	۰/۰۱۰	۰/۰۱۰	-	-	-	-	-	-	-	-	۲
MDH-A															
B	-	-	-	-	-	۰/۰۱۰	-	-	-	-	-	-	-	۰/۰۱۰	۲
F	-	-	-	-	-	-	-	-	-	-	۰/۰۱۰	-	-	-	۱
کل	۰	۰	۰	۰	۲	۲	۰	۰	۰	۰	۱	۰	۰	۱	

جدول شماره ۵- فراوانی و توزیع آلهای نادر در کلیه جمعیت‌های مورد مطالعه

	گ-۲۰۰۰	گ-۱۴۰۰	گ-۶۰۰	ن-۱۴۰۰	ن-۹۰۰	س-۱۹۰۰	س-۱۴۰۰	س-۹۰۰	خ-۲۰۰۰	خ-۱۲۰۰	خ-۶۰۰	الف-۱۹۰۰	الف-۱۲۰۰	الف-۶۰۰	کل
MNR-A															
C	-	-	-	-	۰/۰۱۰	-	-	-	-	-	-	-	-	-	۱
IDH-A															
A	-	۰/۰۱۰	۰/۰۱۰	۰/۰۲۱	۰/۰۴۲	-	۰/۰۱۰	۰/۰۴۲	۰/۰۱۰	-	۰/۰۳۱	-	-	۰/۰۱۰	۹
C	-	-	-	-	۰/۰۱۰	۰/۰۱۰	-	-	-	-	-	-	-	-	۲
MDH-A															
B	-	-	-	-	-	۰/۰۱۰	-	-	-	-	-	-	-	۰/۰۱۰	۲
F	-	-	-	-	-	-	-	-	-	-	۰/۰۱۰	-	-	-	۱
MDH-B															
A	-	-	-	-	۰/۰۴۲	-	۰/۰۴۲	-	-	۰/۰۲۱	۰/۰۲۱	۰/۰۲۱	۰/۰۱۰	۰/۰۱۰	۷
D	-	-	-	-	-	-	-	-	-	-	-	-	-	۰/۰۴۲	۱
MDH-C															
A	۰/۰۱۰	۰/۰۱۰	۰/۰۱۰	-	-	-	-	-	-	۰/۰۱۰	۰/۰۲۱	۰/۰۱۰	۰/۰۱۰	-	۷
کل	۱	۲	۲	۲	۴	۲	۲	۱	۱	۲	۴	۲	۲	۴	



شکل شماره ۴- توزیع فراوانی آلل غالب در ۵ لوکوس مناطق مطالعه شده

بحث و نتیجه گیری

(MNR-A/C) بود که بنظر می‌رسد این آلل در

جمعیت‌های فرانسه و ایتالیا وجود ندارد (۲ و ۷).

برای ایزوسیترات دهیدروژناز، یک لوکوس با ۳

آلل تفسیر شد که کندرونده‌ترین آلل (IDH-

A/C) کاملاً نادر است. این طرح آللی با نتایج

ارائه شده در جمعیت‌های غربی اروپا (۲۴، ۸، ۲۱

و ۲۵) مطابقت دارد. Vyšny (۲۶) یک آلل

تندروند (IDH-A/A') را یافت که فقط در یکی از

جمعیت‌های راش شرقی وجود داشت. Konnert

(۱۲) نیز یک آلل تندرونده را در Bavaria

گزارش نمود ولی از آنجایی که او مقدار Rm

مربوطه را ذکر ننموده است ممکن است این آلل

همان آلل IDH-A/A' گزارش شده توسط

Vyšny (۲۶) نباشد.

طرح‌های آللی: چندین آلل نادر و یا شدیداً نادر

در بخش‌های مختلف دامنه پراکنش راش ایران

مشاهده شد که طبق نظر Bergman و همکاران

(۳) نقش مهمی در پتانسیل سازگاری جمعیت

بازی کرده و به لحاظ نقش مهمشان در تغییرات

احتمالی آینده محیط مورد توجه می‌باشند. در

موارد بسیاری، تعداد و فراوانی آللهای مشاهده

شده (شامل آللهای نادر) با داده‌های سایر

پژوهشگران در راش اروپایی و شرقی مطابقت

دارد. از هفت آلل یافت شده در منادیون

ردوکتاز، در بررسی حاضر ۳ آلل مشاهده شد

که دو تا از آنها فراوان و یکی بشدت نادر

در چند لوکوس) و شرایط محیطی، بر نقش احتمالی سازگاری این آلله‌ها تأکید می‌کنند (۲، ۴، ۵، ۷ و ۲۴). اگرچه ژنوتیپهای آنزیمی و نه آلله‌ها نماینده آنزیم‌هایی هستند که متابولیسم یک گیاه را تسریع می‌نمایند، ولی معمولاً فراوانی آللی بیش از فراوانی ژنوتیپی در رابطه با سازگاری اقلیمی مورد مطالعه قرار می‌گیرد.

Comps و همکاران (۴ و ۵) وجود رابطه بین لوکوسهای پراکسیداز (PX-A و PX-B) و ویژگیهای جغرافیایی و اقلیمی جمعیتها را در کارهای خود ثابت کردند. این پژوهشگران پلی‌مورفیسم بالای لوکوس PX-A را در نواحی با تغییرات اقلیمی شدید گزارش نمودند. از آنجایی که آنها بروز اشکال آللی خاصی را در تغییرات اقلیمی معینی مشاهده نمودند احتمال وجود یک اثر انتخابی را در تشکیل طرحهای آللی پیشنهاد نمودند. اگرچه مناطق مورد مطالعه در این پژوهش بعلت اختلاف زیاد در ارتفاع دامنه پراکنش راش (۱۰۰۰-۱۳۰۰ متر)، در شرایط اقلیمی متفاوتی قرار داشتند ولی در هیچیک از لوکوسها درجه خاصی از پلی‌مورفیسم مشاهده نگردید. در لوکوسهای آنزیمی GOT-B، MDH-B، SKDH-A، Paule و همکاران (۱۹) آللهایی را پیدا کردند که برای یک یا چند منطقه مجاور در جنوب شرقی اروپا اختصاصی بودند. در این پژوهش نیز چندین آلل شناسایی شدند که

سه لوکوس گوناگونی مالات دهیدروژناز را در راش کنترل می‌کند. تند رونده‌ترین لوکوس (MDH-A) در غرب اروپا و در بیشتر جمعیتهای مرکزی اروپا منومورفیک است. طبق گزارش Vyšny (۲۶) و Gömöry و همکاران (۸) این لوکوس در راش شرقی و جمعیتهایی از راش اروپایی که در نزدیکی راش شرقی واقع شده‌اند گوناگونی نشان می‌دهد. از ۴ آلل این لوکوس دو تا از آنها بشدت نادر است. در لوکوس دوم (MDH-B) سه آلل مشاهده گردید که دو تا از آنها در بیشتر جمعیتها نادر هستند. در نمونه‌های جمعیتهای اروپایی غربی (۷ و ۱۵) سه آلل که دو تا از آنها (تند رونده‌تر) نادر بودند یافت گردید. در حالی که آللهای بیشتری در نمونه‌های آلمان مشاهده گردید. Konnert (۱۲) ۶ آلل را در این لوکوس تشریح نمود که فقط یکی از آنها کندتر از آلل فراوان حرکت می‌کرد، ولی Vyšny (۲۶) ۵ آلل را گزارش نمود که سه تا از آنها مشابه با همان آللهایی هستند که قبلاً گزارش شده بود و ۲ آلل (کند رونده) دیگر فقط در راش شرقی و جمعیتهای راش اروپایی مجاور با راش شرقی، یافت می‌شود. دو آلل در لوکوس MDH-C یافت گردید. این لوکوس برخلاف راش اروپایی در بیشتر جنگلهای راش هیرکانی، منومورفیک بود.

توزیع جغرافیایی آلله‌ها: برخی پژوهشها با اشاره به رابطه بین گوناگونی فراوانیهای آللی

فقط در برخی از بخشهای گستره پراکنش راش ایران وجود داشت (جدول شماره ۴). Leonardi و Menozzi (۱۳) در بین ۲۱ جمعیت راش ایتالیایی نشان دادند که فراوانی آلی با ارتفاع و طول جغرافیایی ارتباط دارد، در حالیکه مشاهدات بررسی در ایران روند یکسانی را در ه دامنه پراکنش عمودی (ارتفاعی) نشان نداد. منطقه هیرکانی از نظر ساختار اکولوژی-جغرافیایی ناهمگون بوده و می توان برخی روندهای اکولوژیکی پیوسته ای مثل بارندگی،

شرایط خاکی و غیره را در آن یافت. بنابراین می توان وجود طرح مشخص از گوناگونی آللهای غالب MNR-A و MDH-A موجود در نمونه های مورد مطالعه را تفسیر نمود. ولی ناهمگونی قابل ملاحظه موجود در سایر لوکوسها بدون ارتباط با تغییرات جغرافیایی، احتمالاً ناشی از فرایندهای تصادفی و نیز سازگاری حاصل از مجموعه عوامل محیطی است که در انتخاب ذخیره گاههای ژنی بسیار حایز اهمیت است.

منابع

۱. صالحی شانجانی، پ. ۱۳۸۱. تنوع ژنتیکی راش شرقی و ارتباط آن با برخی ویژگیهای فیزیولوژیکی، بیوشیمیایی و مورفولوژیکی راش در راشستانهای ایران. رساله دکتری دانشکده علوم، دانشگاه تربیت معلم تهران، ایران.

2-Belleti, P. and Lanteri, S. 1996. Allozyme variation among European beech (*Fagus sylvatica* L.) stands in Piedmont, north western Italy. *Silvae Genetica*, 45(1).

3-Bergmann, F. 1991. Isozyme Gene Markers. In: Müller-Starck, G., and Ziehe, M. J. D. (Eds). Genetic Variation in European populations of forest trees. Sauerlander's Verlag, Frankfurt, Germany: 67-79.

4-Comps, B., Thiébaud, L. Paule, D. Merzeau and J. Letouzey. 1990 a. Allozymic variability in beechwoods (*Fagus sylvatica* L.) over central Europe: Spatial differential among and within populations. *Heredity*. 65:406-417

- 5-Comps, B., Thiebaut, B. Paule, L., Merzeau, D. and Letouzey, J. 1990 b. Allozymic variability in beech woods (*Fagus sylvatica* L.) over central Europe: spatial differentiation among and within populations. *Heredity*. **65**: 407-417.
- 6-Gömöry, D., Paule, L., Brus, R., Zhelev, P., Tomovic, Z. and Gracan, J. 1999. Genetic structure and Taxonomy of beech on Balkan Peninsula. *J. Evol. Biol.* **12**: 746-754.
- 7-Gömöry, D., Vyšný, J., Comps, B. and Thiébaut, B. 1992a. Geographical patterns of genetic differentiation and diversity in European beech (*Fagus sylvatica* L.) populations in France. *Biológia (Bratislava)*. **47**: 571-579.
- 8-Gömöry, D., Vyšný, J., Paule, L. and Comps, B. 1992b. Genetic structure of European beech (*Fagus sylvatica* L.) populations in Czecho-Slovakia. In: Proceedings of the International Conference "Fytotechnica a hospodarska uprava Lesov v súčasnych ekologických podmienkach, Technicka Univerzita, Zvolen. 27-33.
- 9-Hamrick, J. L., and Godt, M. J. W. 1990. Allozyme diversity in plant species. In brown, A. H. D., Clegg, M. T., Kahler, A. L. and Weir, B. S. (Eds) Plant population genetics, breeding and genetic resources. Sinauer Associates Inc., Sunderland, Massachusetts. USA.
- 10-Hunter, R. L. and Markert, C. L. 1957. Histochemical demonstration of enzymes separated by zone electrophoresis in starch gels. *Science*. **125**:1294-1295.
- 11-Kim, Z. S. 1979. Inheritance of leucine aminopeptidase and phosphate isozymes in beech (*Fagus sylvatica* L.). *Silvae Genetica*. **28(2-3)**: 68-71.
- 12-Konnert, M. 1995. Investigation on the genetic variation of beech (*Fagus sylvatica* L.) in Bavaria. *Silvae Genetica*. **44(5-6)**: 346-351.

- 13-Leonardi, S. and Menozzi, P. 1995. Genetic variability of *Fagus sylvatica* L. in Italy: the role of post-glacial recolonization. *Heredity*, **75**: 35-44.
- 14-Longauer, R. 1996. Genetic diversity of European silver fir (*Abies alba* Mill). Ph.D thesis Tachniká Univerzita vo Zvolene. 154 p.
- 15-Merzeau, D., Di Giusto, F., Comps, B., Theibaut, B., and Letouzey, J. and Cuguen, J. 1989. The allozyme variants of beech (*Fagus Sylvatica* L.): Inheritance and application to a study of the mating system. *Silvae Genetica*. **38**: 195-201.
- 16-Müller-Starck, G. 1985. Genetic differences between “tolerant” and “sensitive” beeches (*Fagus sylvatica* L.) in an environmentally stressed adult forest stand. *Silvae Genetica*. **34 (6)**: 241-247.
- 17-Müller-Starck, G. and Starke, R. 1993. Inheritance of isozymes in European beech (*Fagus sylvatica* L.). *J. Hered.* **84**: 291-296.
- 18-Paganelli, A., Paganelli-Cappelletti, E. M. and De Battisti, T. 1973. Attività deidrogenasi di gemme di Faggio durante el riposp e la ripresa vegetative. Publ. Centro Speriment. *Agric forest.* **12**: 153-161.
- 19-Paule, L., Gömöry, D. and Vyšný, J. 1995. Genetic diversity and differentiation of beech populations in Eastern Europe. In: Madsen, S. (Eds). Genetics and silviculture of beech. *Forskningsserien (Copenhagen)*. **11**: 159-167.
- 20-Raymond, M. and Rousset, F. 1995. An exact test of population differentiation. *Evolution*. **49**: 1280-1283.
- 21-Rossi, P., Vendramin, G.G., Giannini, R. 1996. Estimation of mating system parameters in two Italian natural populations of *Fagus sylvatica*. *Can. J. For.* **26**.

- 22-Smithies, O. 1955. Zone electrophoresis in starch gels: group variations in the serum proteins of normal individuals. *Biochem. J.*, **61**:629-641.
- 23-Tanksely, S. D. 1983. Molecular markers in plant breeding. *Plant mol. Biol. Rep.*, **1**: 3-8.
- 24-Thiébaud, B., Lumaret, R. and Vernet, P.H. 1982. The bud enzymes of beech (*Fagus sylvatica* L.) Genetic distinction and analysis of polymorphism in several French populations. *Silva Genetica*, **31**: 51-60.
- 25-Thiébaud, B., Cuguen, J., Comps, B., and Merzeau, D. 1986. Influence du mode reproduction sur la structure génétique des populations d'arbres anémophiles: le cas du hêtre (*Fagus sylvatica* L.). Coll. Nat. CNRS "Biologie des populations", Lyon, : 518-527.
- 26-Vyšný, J. 1997. Genetic diversity and differentiation of beech populations in the Eastern Europe. Kandidátska dizertačná práca Technická Univerzita vo Zvolene, 154 p.
- 27-Wang, X.-R. and Szmidt, A. E. 2001. Molecular markers in population genetics of forest trees. *Scand. J. For. Res.* **16**: 199-220.
- 28-Wendel, J. F. and Weeden, N. F. 1989. Visualization and interpretation of plant isozymes. In: Soltis, D. E. and Solits, P. S. (Eds). *Isozymes in plant biology*, : 5-45. Chapman and hall, London.
- 29-Young, A., Boshier, D., and Bayle, T. 2000. *Forest conservation Genetics: Principles and Practice*. CSIRO Publishing. **1**: 102-290.